

大阪大学 正員 小松寛夫  
大阪大学 正員 西村宣男  
大阪大学 学生員 平山健一

## 1. 本文がき

箱型断面トラスの立体解析に用いられる手法について、一般的な変形法によるものと、トラス部材を連続体の微分方程式と導く方法とが考えられる。微分方程式による解法は節点数の多い場合、変形法に比べて極めて計算時間が短く、実用的な精度で解を得らるといふべきである。有用である。

連続体箱型ボリのねじり理論は Benscoter 等によって発展した。これは鉄道、道路併用橋等のダブルデッキ構造(1)、断面形を保有する十分剛な対傾構を組むこととする場合、場合によって、断面の変形(すれ)を考慮して Vlasov 等の薄板理論を拡張して、それをトラスの構造特性に留意して、対傾構の変形を考慮した箱型トラス橋の立体変形に関する基礎方程式を導き、対傾構のせん断剛性の結果につれて考察を加えた。

## 2. 基礎方程式の説明

図1に示すような2軸対称箱型断面に対する3つの変形モード、すなわち  $w$ 、ねじれ角  $\theta$ 、すれ角  $\psi$ を考慮した場合の釣合式は

$$aw'' - b_1 w - b_2 \psi' - b_3 \theta' = 0, \quad b_1 \psi'' + b_2 w' + b_3 \theta'' + m_t = 0, \quad (1)$$

$$b_2 \psi'' + b_1 w' + b_3 \theta'' - \gamma \theta + m_\theta = 0$$

$$\Rightarrow r. \quad a = EA_c b^2 h^2 / 4, \quad b_1 = (t_1 b + t_2 h) bh / 2, \quad b_2 = (t_1 b - t_2 h) bh / 2$$

$$t_1 = EA_d h \lambda / D^3, \quad t_2 = 2EA_r b \lambda / R^3$$

$w = f'$  を導入して(1)式を整理すると下の関式

を6階の微分方程式を得る。

$$f''' - 2r^2 f'' + s^4 f'' - \frac{b_2 \gamma m_t}{a(b_1^2 - b_3^2)} = 0 \quad (2)$$

$$\Rightarrow r. \quad r^2 = b_1 \gamma / 2(b_1^2 - b_3^2), \quad s^4 = \gamma/a$$

## 3. 方程式の解

i)  $r > s$  の場合

$$f = C_1 \cosh \alpha z + C_2 \sinh \alpha z + C_3 \cosh \beta z + C_4 \sinh \beta z \\ + C_5 z + C_6 + \frac{b_2 m_t}{2(b_1^2 - b_3^2)} z^2, \quad \alpha = \sqrt{r^2 + \sqrt{r^4 - s^4}}, \quad \beta = \sqrt{r^2 - \sqrt{r^4 - s^4}} \quad (3)$$

ii)  $r = s$  の場合

$$f = C_1 \cosh \alpha z + C_2 \sinh \alpha z + C_3 z \cosh \alpha z + C_4 z \sinh \alpha z + C_5 z + C_6 + \frac{b_2 m_t}{2(b_1^2 - b_3^2)} z^2 \quad (4)$$

$$\alpha = r = s$$

iii)  $r < s$  の場合

$$f = C_1 \cosh \alpha z \sin \beta z + C_2 \cosh \alpha z \cos \beta z + C_3 \sinh \alpha z \cos \beta z + C_4 \sinh \alpha z \sin \beta z \\ + C_5 z + C_6 + \frac{b_2 m_t}{2(b_1^2 - b_3^2)} z^2 \quad (5)$$

$$\alpha = \sqrt{(s^2 + r^2)/2}, \quad \beta = \sqrt{(s^2 - r^2)/2}$$

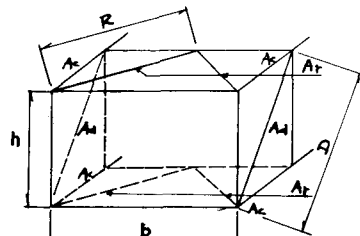


図1 箱型トラス断面

C1 ~ C6 の境界条件が決定された式。吊橋補剛トラスの端部に両端ペンドラム式リッゲ拘束され、また Wind shoe で断面のずれが拘束される場合

$$g(0) = 0, \quad \theta(0) = 0, \quad w'(0) = 0, \quad g(l) = 0, \quad \theta(l) = 0, \quad w'(l) = 0 \quad (6)$$

図2 に示すように一般のトラス橋では、次、境界条件が用いられる。

$$\begin{aligned} g(0) + \theta(0) &= 0, \quad aw'(0) = M_w, \quad \theta(0) = -\frac{T(0) - Q(0) + Q_e(0)h}{P_0} \\ g(l) + \theta(l) &= 0, \quad w'(l) = 0, \quad \theta(l) = -\frac{T(l) - Q(l) + Q_e(l)h}{P_0} \end{aligned} \quad (7)$$

$\sim$   $T_0$  は端子橋構のせん断剛性、端曲げねじりモーメント  $M_w$  は支点 A, B の変位が生じないとき、A, B 点に軸方向力が作用しない条件による。2 次式で与えられる。

$$M_b = 2M_w/h, \quad w(0)bh/4 + v'(0)b/2 = 0 \quad \text{上り} \quad M_w = w(0) \cdot 3\beta^2 EI/4l \quad (8)$$

$Q_e$  は端曲げモーメント  $M_{be}$  と、生ずるせん断力である。 $(q_e \cdot b)Q_e m^2$

#### 4. 単純支持トラス橋の変形と応力

図3～図5 に式(6)の境界条件で計算した結果の一例を示す。対称構造、せん断剛性  $\beta$  は、いずれ角  $\alpha$ 、それぞれモーメント  $Q$  および曲げねじりモーメント  $M_w$  に対する影響をもつ。スパンが長くなると断面のずれ、あるいは斜方角の影響は大きくなる。 $\beta/\alpha = 0.73$  の場合、無次元ドリーム  $\alpha l = 20$  の変形はほくはく対称構の場合に近づき、断面のずれを無視できると考えよう。

他の境界条件、荷重状態については、講演当日、申し上げる予定である。

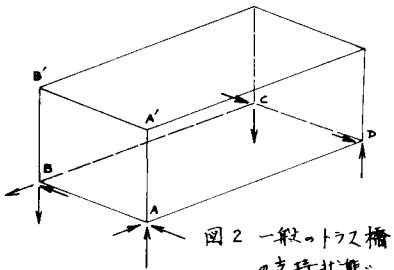


図2 一般のトラス橋  
の支持状態

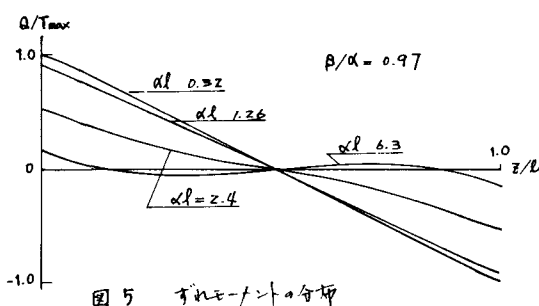


図5 ずれモーメントの分布

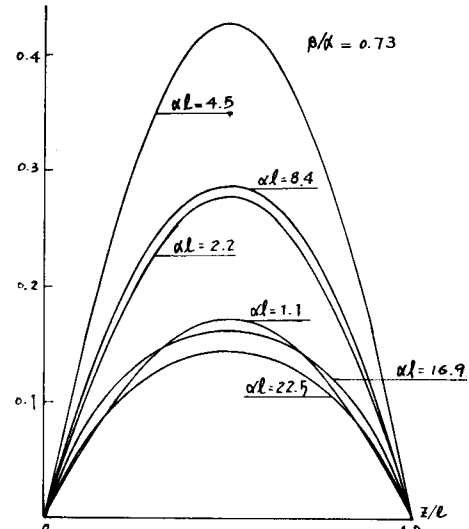


図3 橋面傾斜角のスパン方向分布

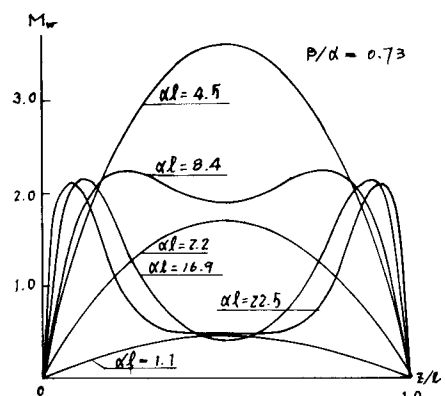


図4 曲げねじりモーメントの分布